

Última actualización de la información: Junio 2025

Configuraciones productos: 7982.01

7982.01: cuerpo Ø 117 mm óptica very wide flood - DALI - 38.1W 4427lm - 3000K - CRI 90 - Blanco



Código producto

7982.01: cuerpo Ø 117 mm óptica very wide flood - DALI - 38.1W 4427lm - 3000K - CRI 90 - Blanco

Descripción

Luminaria de interiores orientable y con adaptador para instalación sobre raíl de tensión de red. Luminaria realizada en aluminio fundido a presión. La doble orientabilidad de la luminaria permite una rotación de 360° alrededor del eje vertical y una inclinación de 90° respecto al plano horizontal. Alimentador regulable DALI incorporado. La luminaria incorpora un led con tecnología C.o.B. en tono de color warm white 3000K. Reflector antirrayado de aluminio P.V.D (physical vapour deposition) capaz de asegurar ópticas prestaciones de eficiencia luminosa. Óptica very wide flood. Posibilidad de instalación de una superficie adicional como, por ejemplo, un cristal de protección o un refractor para la distribución elíptica.

Instalación

En raíl electrificado o con la base específica.

Colores

Blanco (01)

Peso (Kg)

1.17

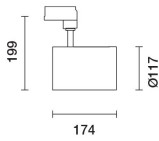
Montaje

raíl trifásico

Equipo

Luminaria equipada con componentes DALI

Se conforma con EN60598-1 y regulaciones pertinentes



Datos técnicos

| | | | |
|-------------------------------------------------------------|-------|--------------------------------------|---------------------------------|
| Im de sistema: | 4427 | Rf (Colour Fidelity Index): | 92 |
| W de sistema: | 38.1 | Rg (Gamut Index): | 99 |
| Im de la fuente: | 4660 | Temperatura de color [K]: | 3000 |
| W de la fuente: | 34 | MacAdam Step: | 2 |
| Eficiencia luminosa (lm/W, valor del sistema): | 116.2 | Life time (vida útil) LED 1: | > 50,000h - L90 - B10 (Ta 25°C) |
| Im en modo emergencia: | - | Código de lámpara: | LED |
| Flujo total de emisión en un ángulo de 90° o superior [Lm]: | 0 | Número de lámparas por grupo óptico: | 1 |
| Light Output Ratio (L.O.R.) [%]: | 95 | Código ZVEI: | LED |
| Ángulo de apertura del haz de luz [°]: | 52° | Número de grupos ópticos: | 1 |
| CRI (mínimo): | 90 | Control: | DALI-2 |

Polar

| | | | | | |
|----------------------------------|-------------------------------------------------------------------------------------------------------------------------------------------------------------------------------------|------------|-----|------|------|
| <p>Imax=6465 cd</p> <p>α=52°</p> | <p>CIE nL 0.95 97-100-100-100-95 UGR 19.1-19.1</p> <p>DIN A.61</p> <p>UTE 0.95A+0.00T F*1=969 F*1+F*2=997 F*1+F*2+F*3=1000</p> | Lux | | | |
| | | h | d | Em | Emax |
| | | 2 | 2 | 1235 | 1616 |
| | | 4 | 3.9 | 309 | 404 |
| | | 6 | 5.9 | 137 | 180 |
| 8 | 7.8 | 77 | 101 | | |

Coefficientes de uso

| R | 77 | 75 | 73 | 71 | 55 | 53 | 33 | 00 | DRR |
|------|-----|-----|-----|-----|----|----|----|----|-----|
| K0.8 | 85 | 80 | 76 | 74 | 79 | 76 | 76 | 72 | 76 |
| 1.0 | 88 | 84 | 81 | 79 | 83 | 81 | 80 | 77 | 81 |
| 1.5 | 93 | 90 | 88 | 86 | 89 | 87 | 86 | 83 | 87 |
| 2.0 | 96 | 94 | 92 | 91 | 93 | 91 | 90 | 87 | 92 |
| 2.5 | 98 | 96 | 95 | 94 | 95 | 94 | 93 | 90 | 95 |
| 3.0 | 99 | 98 | 97 | 96 | 97 | 96 | 94 | 92 | 97 |
| 4.0 | 101 | 100 | 99 | 98 | 98 | 97 | 96 | 94 | 99 |
| 5.0 | 101 | 101 | 100 | 100 | 99 | 98 | 97 | 95 | 100 |

Curva límite de luminancia

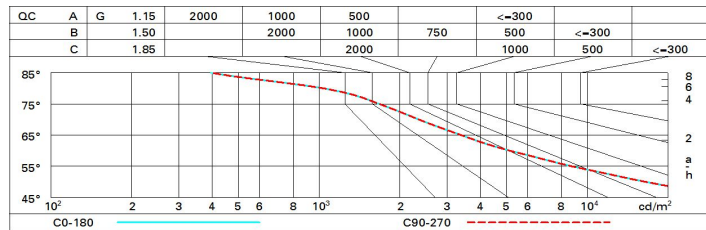


Diagrama UGR

| Corrected UGR values (at 4060 lm bare lamp luminous flux) | | | | | | | | | | | | |
|-----------------------------------------------------------|------|------|------|------------------|------|------|------|----------------|---------|------|------|--|
| Reflect.: | | | | | | | | | | | | |
| ceil/cav | | 0.70 | 0.70 | 0.50 | 0.50 | 0.30 | 0.70 | 0.70 | 0.50 | 0.50 | 0.30 | |
| walls | | 0.50 | 0.30 | 0.50 | 0.30 | 0.30 | 0.50 | 0.30 | 0.50 | 0.30 | 0.30 | |
| work pl. | | 0.20 | 0.20 | 0.20 | 0.20 | 0.20 | 0.20 | 0.20 | 0.20 | 0.20 | 0.20 | |
| Room dim | | | | | | | | | | | | |
| x | y | | | viewed crosswise | | | | viewed endwise | | | | |
| 2H | 2H | 19.6 | 20.2 | 19.9 | 20.5 | 20.7 | 19.6 | 20.2 | 19.9 | 20.5 | 20.7 | |
| | 3H | 19.5 | 20.1 | 19.8 | 20.3 | 20.6 | 19.5 | 20.1 | 19.8 | 20.3 | 20.6 | |
| | 4H | 19.4 | 19.9 | 19.8 | 20.2 | 20.5 | 19.4 | 19.9 | 19.8 | 20.2 | 20.5 | |
| | 6H | 19.4 | 19.8 | 19.7 | 20.1 | 20.5 | 19.4 | 19.8 | 19.7 | 20.1 | 20.5 | |
| | 8H | 19.3 | 19.8 | 19.7 | 20.1 | 20.4 | 19.3 | 19.8 | 19.7 | 20.1 | 20.4 | |
| | 12H | 19.3 | 19.7 | 19.7 | 20.1 | 20.4 | 19.3 | 19.7 | 19.7 | 20.1 | 20.4 | |
| 4H | 2H | 19.4 | 19.9 | 19.8 | 20.2 | 20.5 | 19.4 | 19.9 | 19.8 | 20.2 | 20.5 | |
| | 3H | 19.3 | 19.7 | 19.7 | 20.1 | 20.4 | 19.3 | 19.7 | 19.7 | 20.1 | 20.4 | |
| | 4H | 19.2 | 19.6 | 19.6 | 20.0 | 20.3 | 19.2 | 19.6 | 19.6 | 20.0 | 20.3 | |
| | 6H | 19.1 | 19.5 | 19.6 | 19.9 | 20.3 | 19.1 | 19.5 | 19.6 | 19.9 | 20.3 | |
| | 8H | 19.1 | 19.4 | 19.5 | 19.8 | 20.2 | 19.1 | 19.4 | 19.5 | 19.8 | 20.2 | |
| | 12H | 19.0 | 19.3 | 19.5 | 19.7 | 20.2 | 19.0 | 19.3 | 19.5 | 19.7 | 20.2 | |
| 8H | 4H | 19.1 | 19.4 | 19.5 | 19.8 | 20.2 | 19.1 | 19.4 | 19.5 | 19.8 | 20.2 | |
| | 6H | 19.0 | 19.2 | 19.5 | 19.7 | 20.2 | 19.0 | 19.2 | 19.5 | 19.7 | 20.2 | |
| | 8H | 18.9 | 19.2 | 19.4 | 19.6 | 20.1 | 18.9 | 19.2 | 19.4 | 19.6 | 20.1 | |
| | 12H | 18.9 | 19.1 | 19.4 | 19.6 | 20.1 | 18.9 | 19.1 | 19.4 | 19.6 | 20.1 | |
| 12H | 4H | 19.0 | 19.3 | 19.5 | 19.7 | 20.2 | 19.0 | 19.3 | 19.5 | 19.7 | 20.2 | |
| | 6H | 18.9 | 19.2 | 19.4 | 19.6 | 20.1 | 18.9 | 19.2 | 19.4 | 19.6 | 20.1 | |
| | 8H | 18.9 | 19.1 | 19.4 | 19.6 | 20.1 | 18.9 | 19.1 | 19.4 | 19.6 | 20.1 | |
| Variations with the observer position at spacing: | | | | | | | | | | | | |
| S = | 1.0H | | 5.5 | / -10.6 | | | | 5.5 | / -10.6 | | | |
| | 1.5H | | 8.3 | / -13.6 | | | | 8.3 | / -13.6 | | | |
| | 2.0H | | 10.3 | / -15.0 | | | | 10.3 | / -15.0 | | | |